

МЕТОДЫ ОБРАБОТКИ СИГНАЛОВ И ИЗОБРАЖЕНИЙ

УДК 519.218.82 + 517.518.85

В. М. Ефимов, А. Л. Резник, А. В. Торгов  
(Новосибирск)

СРАВНИТЕЛЬНАЯ ОЦЕНКА ХАРАКТЕРИСТИК  
ПОЛИНОМИАЛЬНЫХ ИНТЕРПОЛЯТОРОВ  
ПРИ РАВНОМЕРНОЙ ДИСКРЕТИЗАЦИИ СИГНАЛА

Рассматриваются характеристики интерполяторов, построенных на основе «скользящего» интерполирования полиномом Лагранжа. Приводятся соотношения для отсчетных функций, их спектров, а также средних по времени и по ансамблю дисперсий ошибок восстановления сигнала. Формулируется «теорема отсчетов» для сигналов с различными дифференциальными свойствами. Оценивается помехоустойчивость интерполяторов.

**Введение.** При обычном интерполировании сигнала  $f(t)$  по его  $(n+1)$  равноотстоящим значениям  $f(k\Delta)$  ( $k = \overline{0, n}$ ) полиномом Лагранжа степени  $n$  ошибка интерполяции неодинакова внутри различных интервалов дискретизации. Так, в [1] приводится оценка для этой ошибки:

$$\varepsilon_f(t) \leq \frac{M_{n+1}}{(n+1)!} \left| \prod_{k=0}^n (t - k\Delta) \right|, \quad (1)$$

где  $M_{n+1} = \sup_{t \in [0, n\Delta]} |f^{(n+1)}(t)|$ . В соответствии с (1) ошибка минимальна в среднем (средних) интервале и максимальна в крайних интервалах ( $0 \leq t \leq \Delta$ ,  $(n-1)\Delta \leq t \leq n\Delta$ ).

В [2] рассмотрена процедура «скользящей» интерполяции, при использовании которой ошибка минимальна. При воспроизведении сигнала  $f(t)$  на интервале  $k\Delta \leq t \leq (k+1)\Delta$  при четном  $n$  в интерполяции участвуют значения функции от отсчета  $f(k\Delta - [n/2]\Delta)$  до отсчета  $f((k+1)\Delta + [n/2]\Delta)$ , а при нечетном значении  $n$  сигнал  $f(t)$  воспроизводится на интервале  $k\Delta - 0,5\Delta \leq t \leq k\Delta + 0,5\Delta$  по значениям функции от отсчета  $f(k\Delta - [n/2]\Delta)$  до отсчета  $f((k+1)\Delta + [n/2]\Delta)$ .

В [3] показано, каким образом можно получить отсчетные функции полиномиального интерполятора при восстановлении сигнала по бесконечной последовательности отсчетов:

$$f^*(t) = \sum_{k=-\infty}^{\infty} f(k\Delta)w(t - k\Delta), \quad (2)$$

де  $w(t)$  – стационарная отсчетная функция.

Далее рассматриваются характеристики таких полиномиальных интерполяторов.

**Отсчетные функции полиномиальных интерполяторов Лагранжа.** При интерполировании  $f(t)$  полиномом Лагранжа степени  $n$  (число отсчетов равно  $n + 1$ ) на интервале  $-\lceil n/2 \rceil \Delta < t < \lceil n/2 \rceil \Delta + \Delta$  его отсчетные функции

$$w_r(t) = \prod_{\substack{m=-\lceil n/2 \rceil \\ m \neq r}}^{\lceil n/2 \rceil + 1} \frac{t - m\Delta}{r\Delta - m\Delta}, \quad (3)$$

де  $1_{\pm} = (1 \pm (-1)^n)/2$ .

Используя (3), получим отсчетную функцию при интерполировании соотношением (2):

$$w(t) = \sum_{r=0}^{\lceil n/2 \rceil} w_{-r}(|t| - r\Delta) 1_{\pm} \left[ \left( |t| - r\Delta + \frac{\Delta}{2} 1_{\pm} \right) \left( (r+1)\Delta - \frac{\Delta}{2} 1_{\pm} - |t| \right) \right], \quad (4)$$

де  $1_{\pm} = (1 \pm (-1)^n)/2$ ;  $1[z]$  – функция, равная единице при  $z > 0$  и нулю при  $z < 0$ .

На рис. 1 приведены графики отсчетных функций для различных степеней  $n$  полинома. Из них следует, что для четных значений  $n$  отсчетная функ-

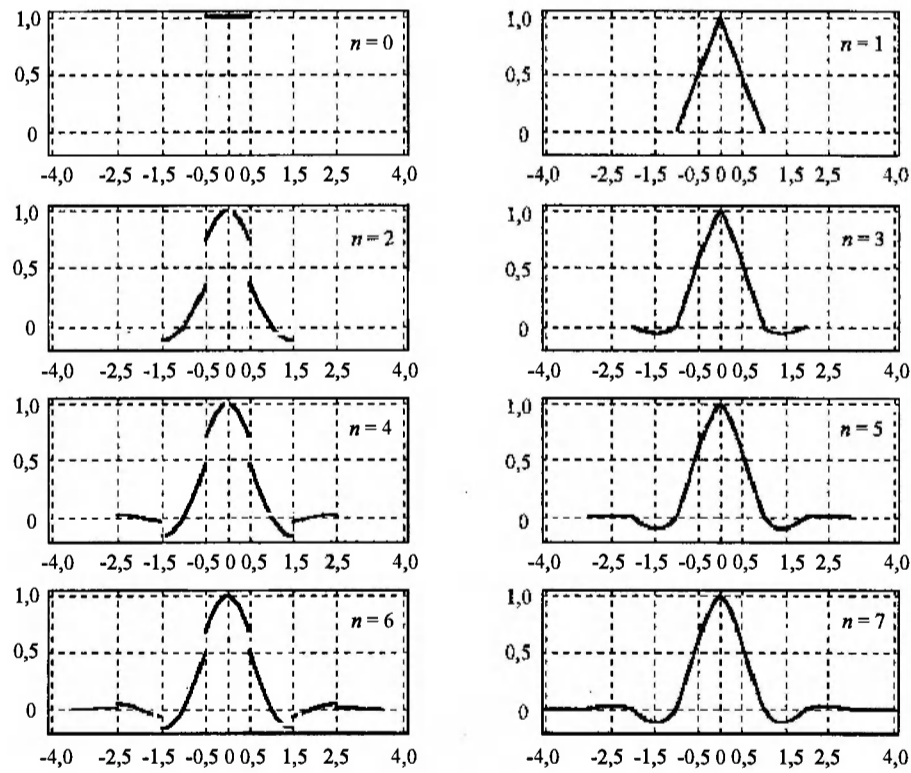


Рис. 1. Отсчетные функции полиномиальных интерполяторов

Таблица 1

Коэффициенты  $C_{mn}$ 

$m$	$n$							
	0	1	2	3	4	5	6	7
0	1	1	1	1	1	1	1	1
1	0	0	1/2	2/3	5/6	1	7/6	4/3
2	0	0	0	0	3/8	8/15	259/360	14/15
3	0	0	0	0	0	0	5/16	16/35

ция разрывна. Однако полином четной степени  $n$  при интерполировании по его равноотстоящим значениям восстанавливается без ошибок.

**Спектр отсчетной функции.** Непосредственное вычисление преобразования Фурье функции (4) по формуле

$$\tilde{w}(\omega) = \frac{1}{\Delta} \int_{-\infty}^{\infty} w(t) \cos \omega t dt$$

показывает, что

$$\tilde{w}(\omega) = \left( \frac{\sin 0,5\omega\Delta}{0,5\omega\Delta} \right)^{n+1} \sum_{m=0}^{[n/2]} C_{mn} (0,5\omega\Delta)^{2m}. \quad (5)$$

Значения коэффициентов  $C_{mn}$  для различных степеней интерполяционного полинома приведены в табл. 1. На рис. 2 изображены частотные характеристики (5) для  $n$  из табл. 1. Из этих данных следует, что спектр отсчетной функции при увеличении степени полинома  $n$  приближается к частотной характеристике фильтра нижних частот [2].

**Дисперсия ошибки интерполяции.** Необходимо отметить, что уже при степени полинома  $n=0$  постоянная составляющая сигнала «скользящим» интерполятором Лагранжа восстанавливается без искажения. Следовательно, отпадает необходимость в операции центрирования сигнала перед интерполяцией. Дисперсия ошибки интерполяции сигнала  $f(t)$  при использовании для воспроизведения сигнала отсчетной функции (4)

$$\langle \varepsilon_f^2 \rangle = \sigma_f^2 + \sigma_f^2 \sum_{m=0}^n C_m(n) \rho_f(m\Delta) - 2\sigma_f^2 \frac{2}{\Delta} \sum_{r=-[n/2]}^{[n/2]+1} \int_0^{0,5\Delta} w_r(t) \rho_f(t-r\Delta) dt. \quad (6)$$

В соотношении (6) величины  $\sigma_f^2$  и  $\rho_f(\tau)$  – дисперсия и нормированная корреляционная функция сигнала  $f(t)$  соответственно, второе слагаемое – средняя по времени дисперсия сигнала на выходе интерполятора. Коэффициенты  $C_m(n)$  определяются соотношениями:

$$C_m(n) = \frac{2}{\Delta} \sum_{r=-[n/2]}^{[n/2]+1} \int_0^{0,5\Delta} w_r(t) w_{r+m}(t) dt. \quad (7)$$

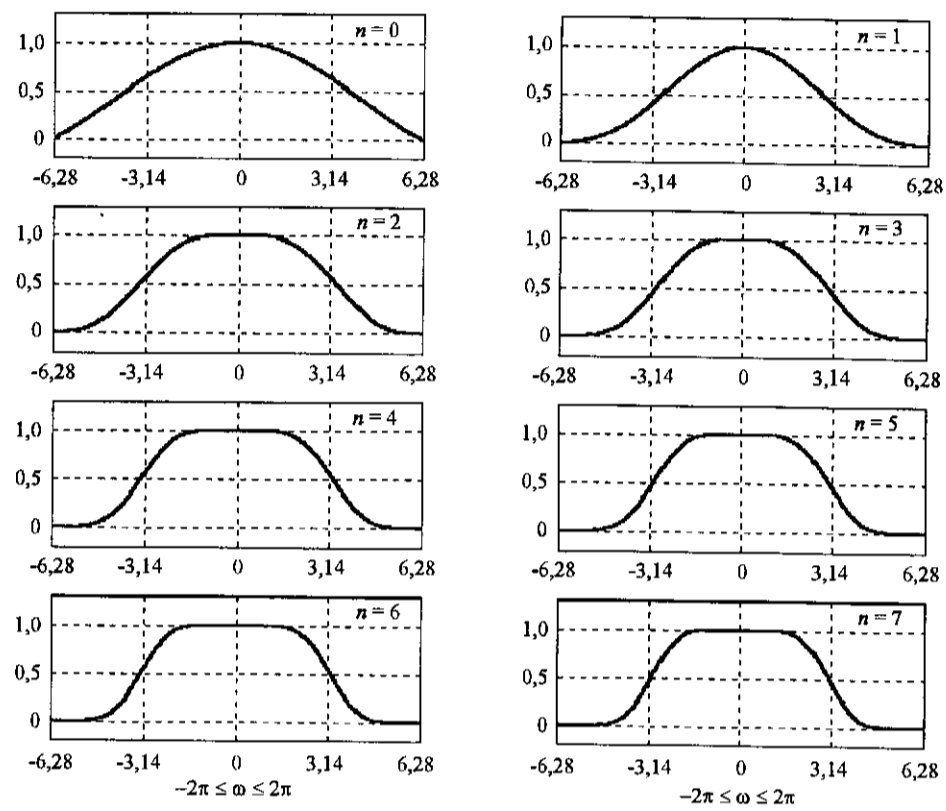


Рис. 2. Частотные характеристики интерполяторов

Табл. 2 содержит данные об этих коэффициентах для различных степеней интерполирующего полинома  $n$ .

Таблица 2

Коэффициенты  $C_m(n)$

$m$	$n$							
	0	1	2	3	4	5	6	7
0	1	0,66667	0,89375	0,77567	0,89573	0,82245	0,90279	0,84942
1	0	0,33332	0,14167	0,30595	0,15924	0,27264	0,15878	0,24617
2	0	0	-0,03542	-0,08571	-0,06824	-0,11949	-0,08532	-0,13285
3	0	0	0	0,00410	0,01408	0,02663	0,02886	0,04563
4	0	0	0	0	-0,00081	-0,00237	-0,00563	-0,00945
5	0	0	0	0	0	0,00014	0,00056	0,00119
6	0	0	0	0	0	0	-0,00003	-0,00012
7	0	0	0	0	0	0	0	$6,08 \times 10^{-6}$

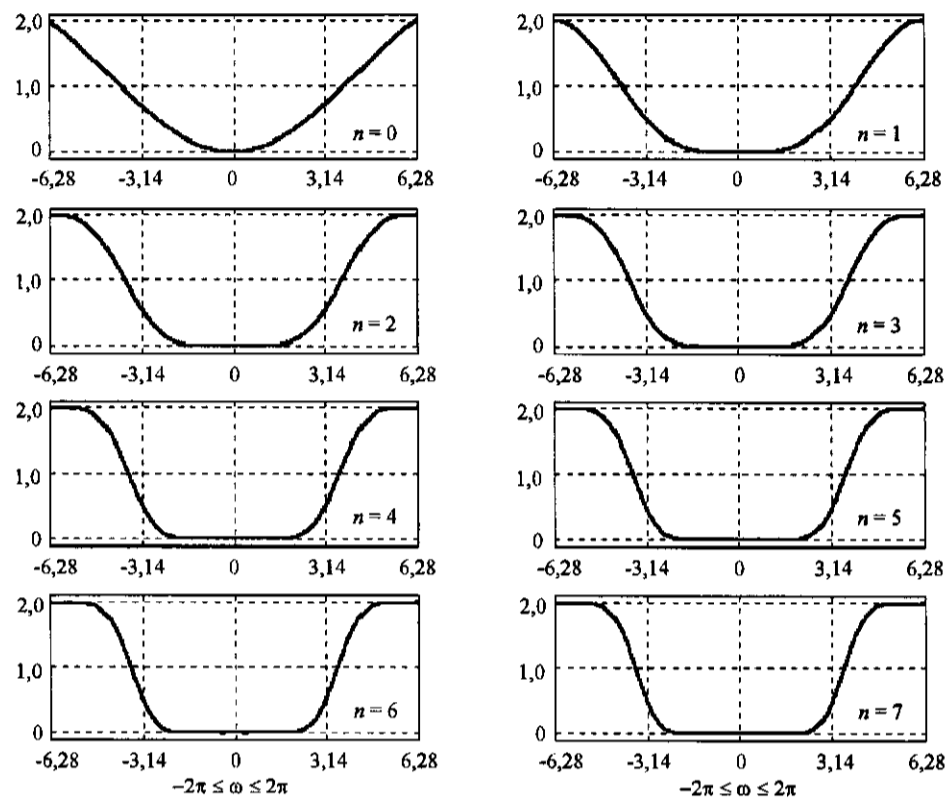


Рис. 3. Нормированная дисперсия ошибки восстановления гармонического сигнала как функция частоты  $\omega$

В частотном представлении дисперсия ошибки

$$\langle \epsilon_f^2 \rangle = \int_{-\infty}^{\infty} S_f(\omega) \left( 1 + \sum_{m=0}^n C_m(n) \cos m\omega\Delta - 2\tilde{w}(\omega) \right) d\omega, \quad (8)$$

где  $S_f(\omega)$  – спектральная плотность сигнала  $f(t)$ .

На рис. 3 приведены зависимости нормированной дисперсии ошибки как функции частоты. В асимптотике при уменьшении интервала дискретизации  $\Delta$  дисперсия ошибки интерполяции для сигнала соответствующей дифференцируемости в среднеквадратичном

$$\langle \epsilon_f^2 \rangle = \sigma_f^2 \frac{|\rho_f^{2(n+1)}(0)|}{((n+1)!)^2} \frac{2}{\Delta} \int_0^{0,5\Delta} dt \prod_{m=-[n/2]}^{[n/2]+1} (t - m\Delta)^2. \quad (9)$$

Отметим, что величина

$$\sigma_f^2 |\rho_f^{2(n+1)}(0)| = \int_{-\infty}^{\infty} \omega^{2(n+1)} S_f(\omega) d\omega. \quad (10)$$

**Полиномиальная интерполяция и теорема отсчетов.** Теорема отсчетов с весовой функцией  $\sin\left(\frac{\pi t}{\Delta}\right)/\frac{\pi t}{\Delta}$  в (2) используется не только для сигналов с ограниченным по частоте одномодальным спектром ( $|\omega_{\max}| \leq \pi/\Delta$ ). Для сигнала с неограниченным по частоте спектром дисперсия ошибки реконструкции сигнала

$$\langle \varepsilon_f^2 \rangle = 2 \int_{|\omega| > \pi/\Delta} S_f(\omega) d\omega, \quad (11)$$

т. е. в 2 раза превышает энергию сигнала на частотах более высоких, чем половина частоты дискретизации.

Величина дисперсии (11) зависит от скорости убывания спектральной плотности. Например, для сигнала с марковской корреляционной функцией  $\sigma_f^2 e^{-\alpha|\tau|}$  и спектральной плотностью  $S_f(\omega) = \sigma_f^2 \frac{\alpha}{\pi(\omega^2 + \alpha^2)}$  при высокой час-

тоте дискретизации значение интеграла (11) составляет  $\langle \varepsilon_f^2 \rangle \approx \frac{4}{\pi^2} \sigma_f^2 \alpha \Delta$ . При использовании весовой функции (4) для воспроизведения этого сигнала при  $n=1$  ( $w(\tau) = \frac{1}{\Delta} (\Delta - |\tau|) I[\Delta - |\tau|]$ ) дисперсия ошибки  $\langle \varepsilon_f^2 \rangle \approx \frac{1}{3} \sigma_f^2 \alpha \Delta$ , т. е. в этом случае использование в формуле (2) всего двух отсчетов дает лучшие результаты по сравнению с интерполяционным фильтром нижних частот.

Корреляционную функцию сигнала в асимптотике можно представить в виде ряда

$$\rho_f(t) \cong 1 + \sum_{k=1}^m \rho_f^{(2k)}(0) \frac{t^{2k}}{(2k)!} + \rho_f^{(2m+1)}(0) \frac{t^{2m+1}}{(2m+1)!}. \quad (12)$$

Скорость убывания спектральной плотности  $\sim O\left(\frac{1}{\omega^{2(m+1)}}\right)$ . Сигнал с такой корреляционной функцией  $m$  раз дифференцируем в среднеквадратичном, а его  $(m+1)$ -й производной не существует.

Сравним фильтр нижних частот с полиномиальной интерполяцией на примере  $m$ -кратно дифференцируемого в среднеквадратичном сигнала. Таковым сигналом является сигнал со спектральной плотностью

$$S_f(\omega) = \sigma_f^2 \frac{\alpha^{2m+1} 2^m m!}{\pi(2m-1)!! (\omega^2 + \alpha^2)^{m+1}}. \quad (13)$$

При  $m=0$ , если положить  $m! = 1$ ,  $(2m-1)!! = 1$ , соотношение (13) совпадает со спектральной плотностью марковского процесса. Величина  $\rho_f^{(2m+1)}(0)$  для спектральной мощности (13) представляется в виде

$$|\rho_f^{(2m+1)}(0)| = \sigma_f^2 \frac{\alpha^{2m+1} 2^m m!}{\pi(2m-1)!!}, \quad (14)$$

Таблица 3  
Отношение  $\gamma(m, n)$  дисперсий  
ошибок восстановления сигнала

$m$	$n$	$\gamma(m, n)$
0	1	0,823
1	3	0,899
2	5	1,001
3	9	0,999
4	14	1,014
5	20	1,011
6	27	1,002
7	35	1,003

а дисперсия ошибки при высокой точности воспроизведения (в случае  $n+1 > m$ ) описывается соотношением

$$\langle \epsilon_f^2 \rangle = \beta_n \sigma_f^2 |\rho_f^{(2m+1)}(0)| \Delta^{2m+1}. \quad (15)$$

Вычисление (11) для спектра мощности (13) дает следующий результат:

$$\langle \epsilon_f^2 \rangle \approx \sigma_f^2 (\alpha \Delta)^{2m+1} \frac{2^{m+2} m!}{\pi^{2(m+1)} (2m+1)!}. \quad (16)$$

В табл. 3 приведены значения отношения  $\gamma$  дисперсий ошибок воспроизведения для сигналов различной дифференцируемости. При этом в числителе отношения стоит дисперсия, полученная с использованием отсчетной функции (4), а в знаменателе – дисперсия, полученная при использовании отсчетной функции фильтра нижних частот  $\sin\left(\frac{\pi t}{\Delta}\right) / \frac{\pi t}{\Delta}$ .

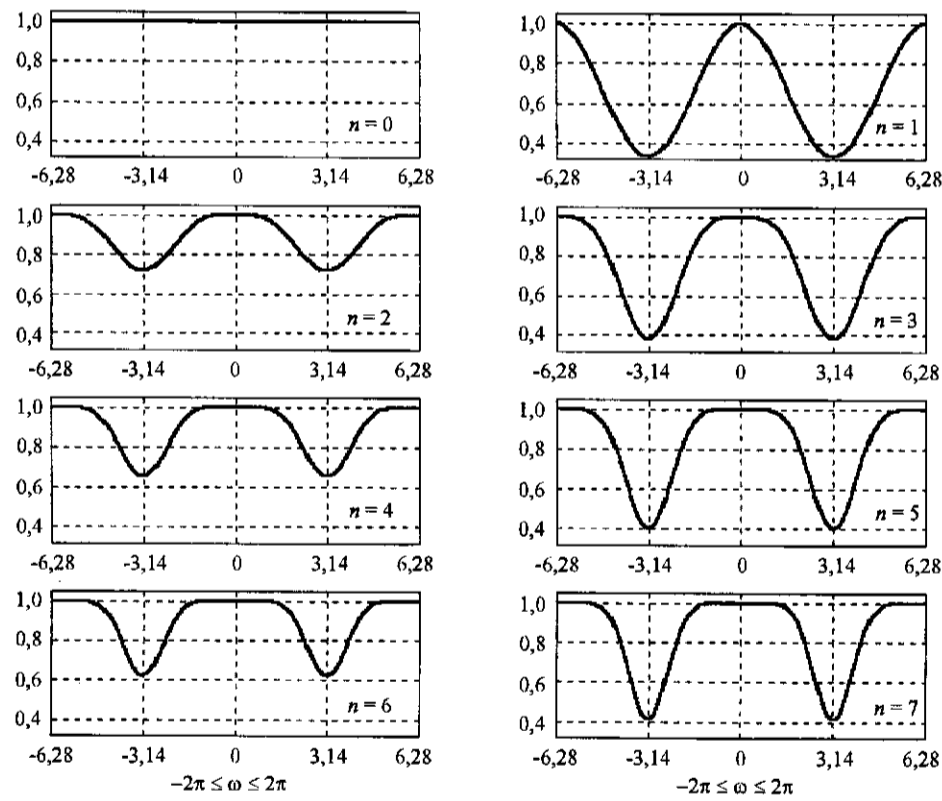


Рис. 4. Частотная зависимость коэффициента пропускания интерполятором гармонического сигнала

Из данных этой таблицы следует, что при высокой частоте дискретизации интерполирование сигнала с использованием отсчетной функции (4), построенной на основе полинома Лагранжа, при сравнительно небольшом числе используемых отсчетов практически эквивалентно применению для реконструкции сигнала фильтра нижних частот.

**Помехоустойчивость.** Если присутствует не коррелированный с сигналом амплитудный шум  $\varphi(k\Delta)$ , то при интерполировании сигнала с использованием отсчетной функции (4) дополнительная составляющая дисперсии ошибки определяется очевидным соотношением

$$\langle \epsilon_{\varphi}^2 \rangle = \sigma_{\varphi}^2 \int_{-\infty}^{\infty} d\omega S_{\varphi}(\omega) \sum_{m=0}^n C_m(n) \cos m\omega\Delta. \quad (17)$$

На рис. 4 изображена частотная зависимость множителя в выражении (17), стоящего при спектральной плотности шума  $S_{\varphi}(\omega)$  для различных степеней интерполирующего полинома. С ростом степени полинома его фильтрующие свойства изменяются, однако дополнительная дисперсия ошибки от амплитудного шума не превышает величины дисперсии  $\sigma_{\varphi}^2$ , так как коэффициент пропускания на любой частоте меньше или равен единице.

**Заключение.** Рассмотренные выше интерполяционные соотношения предполагают воспроизведение сигнала по бесконечной последовательности отсчетов. Однако, на наш взгляд, отсчетной функцией (4) можно успешно пользоваться и при конечном, но достаточно большом числе отсчетов. Например, если интерполирование производится по четырем отсчетам ( $n=3$ ), то только в двух интервалах дискретизации (первом и последнем) дисперсия ошибки будет превышать значение, определяемое соотношениями (6) и (8). Это превышение при высокой точности воспроизведения может быть определено исходя из соотношения типа (9) путем интегрирования в соответствующем интервале дискретизации. Отметим, что полученные результаты достаточно просто распространяются на случай неравномерной дискретизации. При этом отсчетная функция получается нестационарной.

#### СПИСОК ЛИТЕРАТУРЫ

1. Березин И. С., Жидков Н. П. Методы вычислений. М.: ГИФМЛ, 1962. Т. 1.
2. Ефимов В. М. Об интерполировании случайно изменяющихся величин при дискретном измерении и контроле с помощью полинома Лагранжа // Автометрия. 1965. № 3. С. 19.
3. Ефимов В. М. Асимптотически оптимальные интерполяционные соотношения // Автометрия. 1992. № 4. С. 3.

Институт автоматики и электрометрии СО РАН,  
E-mail: reznik@iae.nsk.su

Поступила в редакцию  
20 августа 2001 г.